

コンクリートブロック積みのり面被覆工の安定領域

立命館大学理工学部

大同淳之

1. はしが、キ ブロック積み工法の安定についての従来の研究は、ブロックの表面から控えよどみの長さと同じ厚みの壁体と考えて安定が検査されている。控え間の飼石、目地が確実に施工されない場合は上のモデルでよいか、飼石、目地の施工が不十分なときは力の作用点も変化し、十分でない。本文は飼石の施工状態の変化が考慮に取入れられる形の式で安定を検査し、被覆工のこう配が斜面土圧の作用方向を変えることおよび目地の施工が安定に及ぼす効果を明確にせんとしたものである。

2. コンクリートブロック積みの安定

2.1. 転倒に対する安定、ブロック積み被覆工は、斜面上の積載荷重 γ 、土圧 E 、地盤力およびブロック自重の合力が、ブロック支持面に作用している場合は安定である。

図1において、座標原点をブロックの頂部表面にとり、A点のまわりのモーメントは、 x_0 をAよりブロック重心までの距離、 $x_0 = -Z_G / \sin \beta - (y/2) \cot \beta$ 、 W_B ：ブロック重量、 e ：土圧作用点、 K' ：水平震度、 X ：Aより反力作用点までの距離とするとき、

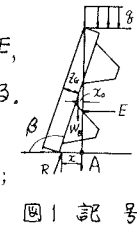


図1 記号

$$\gamma_0 W_B + e \cdot E + K' W_B = X \cdot W_B \quad (1)$$

となる。JISの適合する図2のブロックの体積 V 、重心 y_0 は、寸法を図示のようにとると、次のようになる。

$$V = abc + (b/3a)(l-c)(a^2 + 10a + 10^2) \quad (2)$$

$$y_0 = [6a^2c^2(a-10)^2 + (l-c)^2(a^4 - 10^3(4a-30))] / [4(a^2-10^2)(3a^2c + (l-c)(a^2+10a+10^2))] \quad (3)$$

また、ブロックの控え間の飼石の充填度の変化による重量、重心の変化は、飼石と球形とみなすと、表1のようになる。

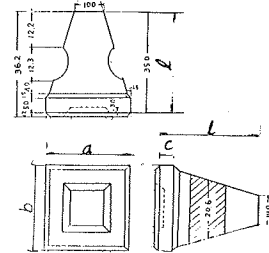


図2 ブロック寸法

表1 飼石の条件における重量と重心の変化

充填	重量kg	重心cm
I simple cubic	101.8	14.8
II cubical tetrahed.	106.7	15.4
III tetragonal spheno	112.4	16.1
IV pyramidal	114.9	16.4

上載荷重 γ と $\gamma = w_s y_0$ とすると、任意の深さ y における土圧 E およびその作用点 e は、地震時の土圧係数 K' として、JRのように表される。

$$E = \frac{K' w_s}{2} y^2 (1 + \gamma), \quad \gamma = y_0 / y \quad (4)$$

$$e = (y/3) \alpha, \quad \alpha = (3\gamma + 1) / (2\gamma + 1) \quad (5)$$

任意の深さ y で、 n 個のブロックがあるとき、その全重量 W_B は

コンクリートの単位重量と w_c 、ブロック面こう配と β として、つぎのようになる。

$$W_B = V_B w_c \cdot n, \quad n = y / (a \cdot \sin \beta) \quad (6)$$

これらの値と(1)式に代入して、合力の作用点 X を求め、のりの表面をたたは裏面の座標を表わす式と等置して両者の交わる高さすなわち限界高さ y_c を求めると、表面につけては、

$$y_c = - \frac{3 V_B w_c \cot \beta}{2 a K' w_s \alpha (1 + \gamma) \sin \beta} \pm \sqrt{\left(\frac{3 V_B w_c \cot \beta}{2 a K' w_s \alpha (1 + \gamma) \sin \beta} \right)^2 + \frac{6 V_B w_c}{a K' w_s \alpha (1 + \gamma)} \left(\frac{Z_G - K' \sin \beta}{\sin^2 \beta} \right)} \quad (7)$$

$$\text{裏面について } y_c = - \frac{3 V_B w_c \cot \beta}{2 a K' w_s \alpha (1 + \gamma) \sin \beta} \pm \sqrt{\left(\frac{3 V_B w_c \cot \beta}{2 a K' w_s \alpha (1 + \gamma) \sin \beta} \right)^2 + \frac{6 V_B w_c}{a K' w_s \alpha (1 + \gamma)} \left(\frac{Z_G - C - K' \sin \beta}{\sin^2 \beta} \right)} \quad (8)$$

となる。(7)式と(8)式と比較すると、(8)式のほうが小さく、ブロック箇数が少ないとときは、合力限界が

裏側にはずれ、背面の土が支持力として作用する必要があることを示す。

2.2 滑動に対する安定、図3のように、上から n 番目のブロックの下面に作用するまさつ抵抗を F_n 、ブロック重量のり面の法線方向への分力を W'_B 、これに平行な方向に働く土圧の分力を E' とすると、滑動に対する釣合式は次のとおりである。

$$F_n + W'_B = E' \quad (9)$$

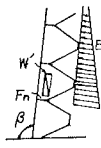


図3. 滑動に対する
安定の記号

この条件と、ブロックの上部からの数 n 、極限高さ y_c で表わすと次のようになる。

$$n < \{W'_B(\mu \sin\beta - \cos\beta)\} / \{(b/2)Kw_s a^2 \sin^3\beta\} \quad (10)$$

$$y_c = \{W'_B(\mu \sin\beta - \cos\beta) \cdot a \cdot \sin\beta\} / \{(b/2)Kw_s a^2 \sin^3\beta\} \quad (11)$$

μ はまさつ係数である。この式は、 β が大きくなるほど滑動が走りにくくなることを示す。

2.3 ブロックのまさつ係数 μ 、市販のブロックを3列4段に、正方積み、一段ごとに半直づつ並んで積んだ組積みと空積みおよび練積みにし、背面より荷重を加えて、まさつ係数を測定した結果は、表2 ブロック面のまさつ係数

	積み方	まさつ係数
箇のみ空積みの場合	正方積み	0.30
	組積み	0.98
の測定値 $\mu = 0.6$ に	正方積 練積	1.91
比して、正方空積み	組積 練積	2.08

の μ が小さいのは、ブロックの歪みで、積上げたとき、刃口にすき手が生じたりためとみなしている。すなはち練積みで μ が1を超えてはいるのは接着力を含めたみかけのまさつ係数であるためである。

2.4 安定領域の図示、図4はそれぞれのケースについて(7), (8)および(11)式を上述の μ を用いて限界高さ y_c と求めたものである。曲線より上の領域が安定で、図の右側の線は裏側に合力の作用点がはずれる限界で、背面の土が支持力として働くなければ破壊の恐れがあることを示す。建設省の現行の規制を図中に示したが、地震を考慮すれば安定領域の境界に一致するが、地震時は不安定になる。

2.5 実地試験との比較、神戸大学の実験における諸数値について本解析に用いた土圧式と実測値の比較を図5にロック数を横軸に示す。図6にブロックの変位を示すが変位差の基準位置は(10)式と一致する。本研究は、岐阜大・河村教授を代表者とする特定研究の一環として行なわれた。

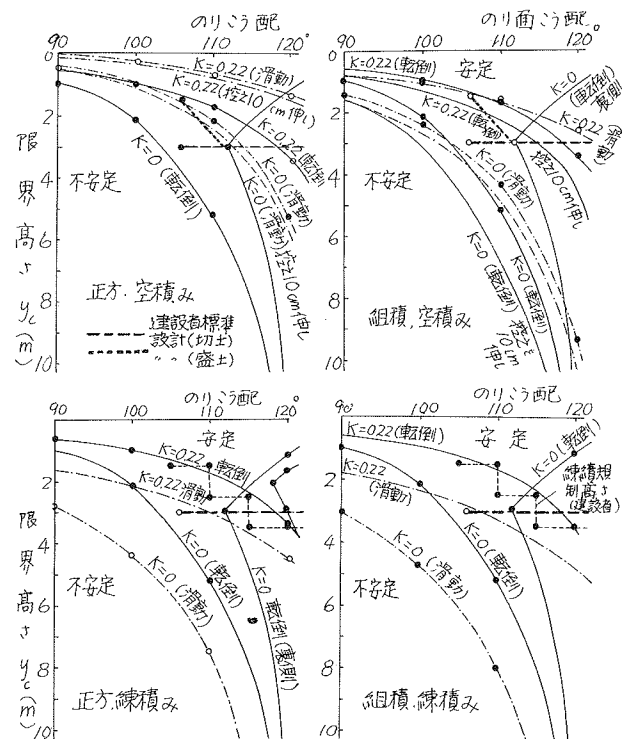


図4. 各積み方によるり面の限界高さ

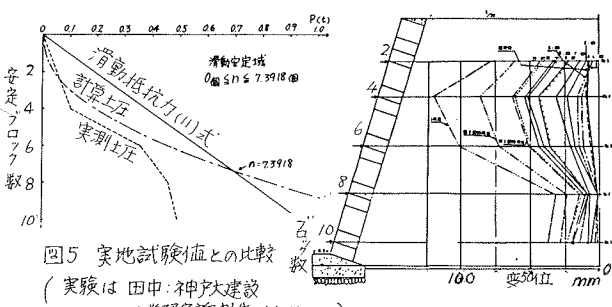


図5 実地試験値との比較
(実験は田中・神戸大建設
工学研究所報告 No.11より)